

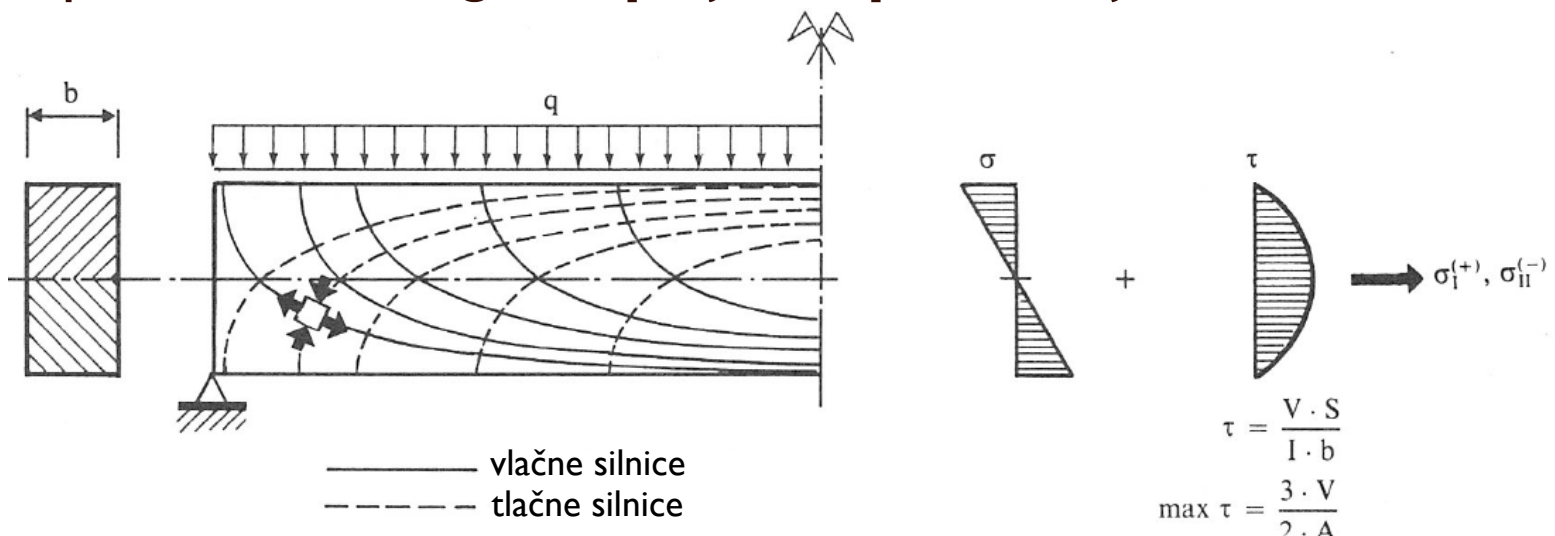
# II NAPREZANJA OD POPREČNE SILE

## III. I Uvod

U poglavlju o **ponašanju PB nosača pod rastućim opterećenjem** razmotrili smo i djelovanje poprečne sile.

Prisjetimo se da smo utvrdili kako pod djelovanjem **poprečne sile** nastaje **ravninsko stanje naprezanja**, za razliku od **savijanja** koje je jednoosno.

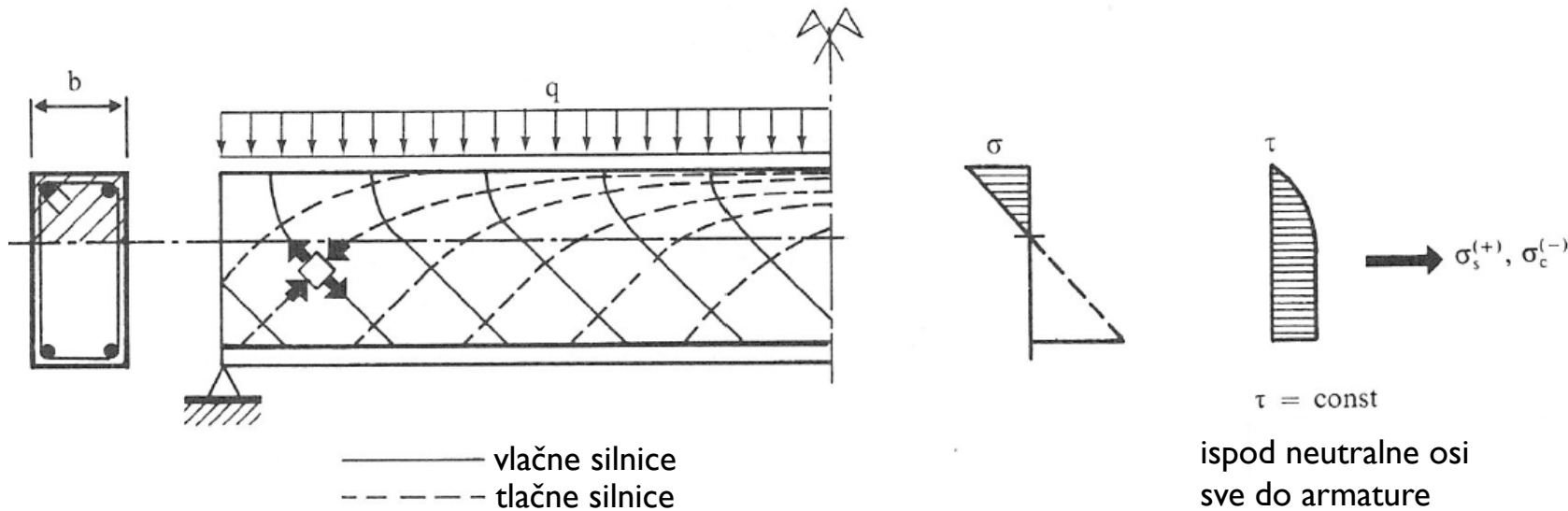
Na slici III.I predviđene su **silnice glavnih naprezanja** pravokutne AB grede **prije raspucavanja**.



Slika III.I: Silnice glavnih naprezanja pravokutne AB grede prije raspucavanja

# III.1 Uvod

Kako je **vlačna čvrstoća** betona općenito **zнатно manja** od tlačne (oko 10 puta), u betonu se javljaju **pukotine** u smjeru okomitu na smjer **glavnih vlačnih naprezanja** već pri razmjerno **niskoj razini opterećenja** (slika III.2).



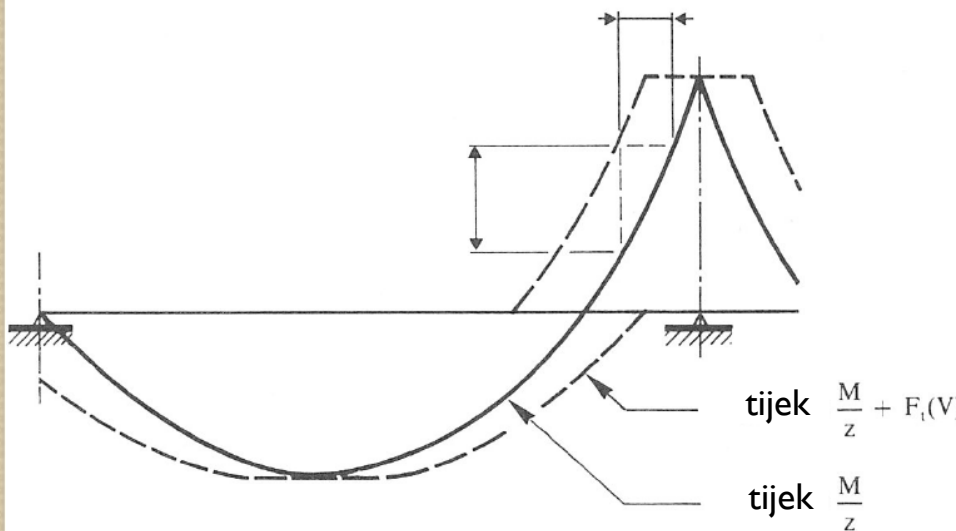
Slika III.2: Silnice glavnih vlačnih naprezanja u stanju raspučalosti

Na ovoj slici valja uočiti kako tzv. **posmična naprezanja**,  $\tau$ , ostaju **nepromijenjena** po veličini **ispod razine neutralne osi sve do razine armature**.

## III.1 Uvod

Još je nešto važno uočiti: **ne postoji odsječak nosača konačne duljine**, na kojem bi se očitovalo djelovanje **čiste poprečne sile**: poprečna je sila uvijek **u sprezi s momentom savijanja**.

Čista poprečna sila može djelovati samo u **točki**, npr. u **ništištu** (“nul-točki”) **momenata savijanja** (slika III.3).



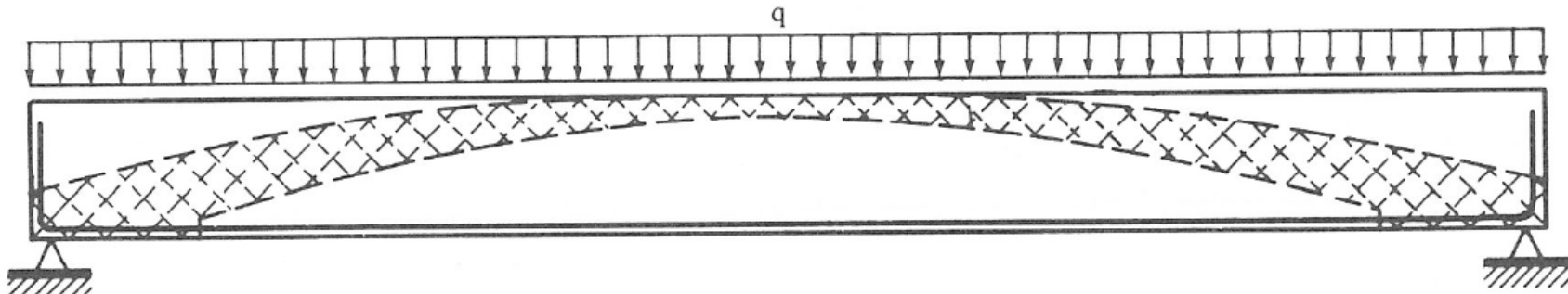
Slika III.3: Učinak poprečne sile na uzdužnu armaturu

Na slici su predviđene i granice (isprekidanim crtama) do kojih sežu **vlačne sile** od pripadnih momenata savijanja (to su tzv. **dijagrami pokrivanja** momenata savijanja).

Taj **pomak** granica vlačnih sila posljedak je djelovanja **poprečnih sile**.

## III.1 Uvod

Zbog **raspučavanja** AB bi se greda **bez poprečne armature** (stremenova) pod **jednoliko rasprostrštim opterećenjem** zapravo ponašala poput plitkoga **luka sa zategom** (slika



Slika III.4: Tlačni članci u betonu i glavna uzdužna armatura kao luk sa zategom

Ovdje se valja osvrnuti na jedan strukovni izraz: **stremen**.

Ovaj komad poprečne armature, što prenosi **poprečnu silu** (te vlačnu silu od momenta torzije) ovako se naziva u gotovo **svim jezicima**:

engl. *stirrup*;      franc. *étrier*;      njem. *Bügel*;      mađ. *kengyel*;

rus. *хомут*;      polj. *strzemię* itd.

Zato ga i mi trebamo **tako** zvati, a ne spona ili (još gore) vilica.<sup>4</sup>

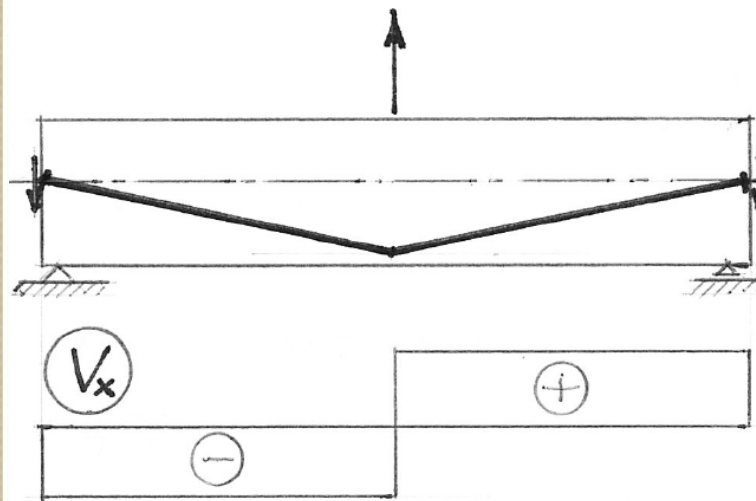
## III. I Uvod

Djelovanje **sile prednapinjanja** unosi **dvojaku promjenu u ponašanje AB nosača:**

- unošenjem **uzdužne sile** i
- unošenjem **dodatne poprečne sile**.

Kao što smo vidjeli u poglavlju o djelovanju sile prednapinjanja na AB nosač, djelovanje **natege** očituje se na **dvama** istaknutim mjestima:

- na mjestu uvođenja sile (sidrenja natege) i
- na mjestu skretanja osi natege.

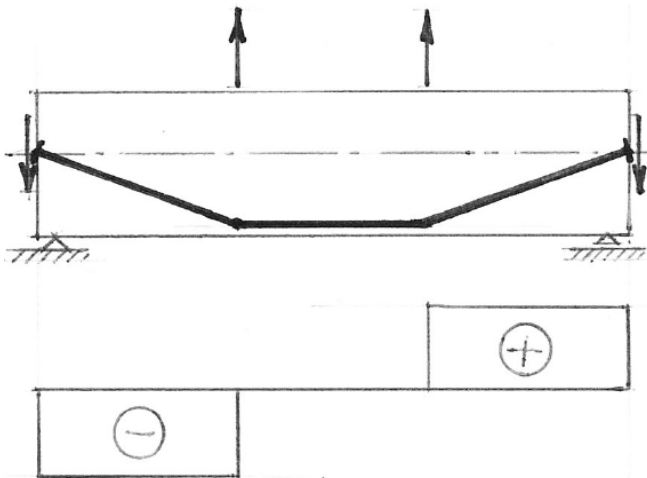


Na sljedećim ćemo trima slikama prikazati **tijek poprečnih sila** u trima tipičnim slučajevima.

Slika III.5 predviđa slučaj kada os natege skreće u jednoj točki (protudjelovanje **jakoj pojedinačnoj sili**).

Slika III.5:Tijek poprečne sile od natege s jedostrukim skretanjem

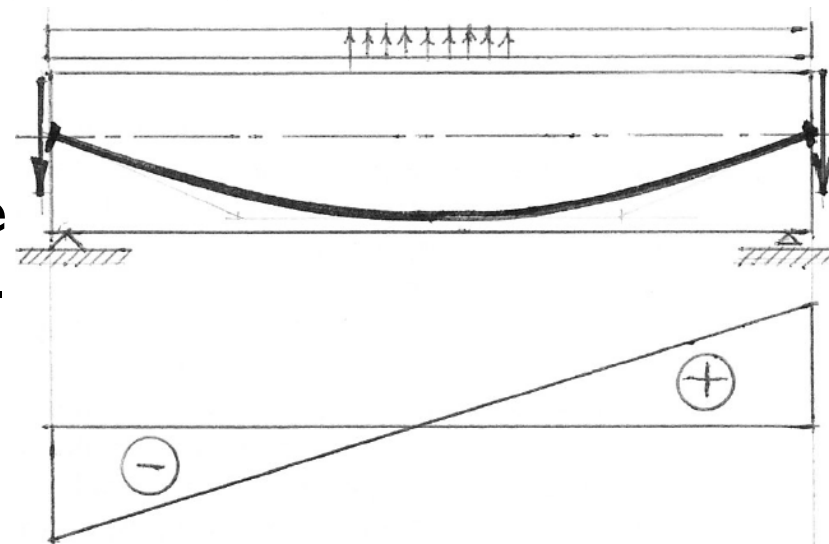
## III.1 Uvod



Slika III.6: Tijek popr. sila – dvostruko skretanje Kao i u predhodnom slučaju, te jake pojedinačne sile nadomještaju djelovanje kakve poprečne grede i sl.

Na kraju, slika III.7 predočuje slučaj jednoliko zakrivljene (parabolaste) osi natege (protudjelovanje jednoliko rasprostrtom opterećenju).

Na slici pak III.6 prikazano je stanje kada os natege skreće u dvjema točkama simetrično položenima u odnosu na polovište raspona (protudjelovanje dvjema jakim pojedinačnim silama).



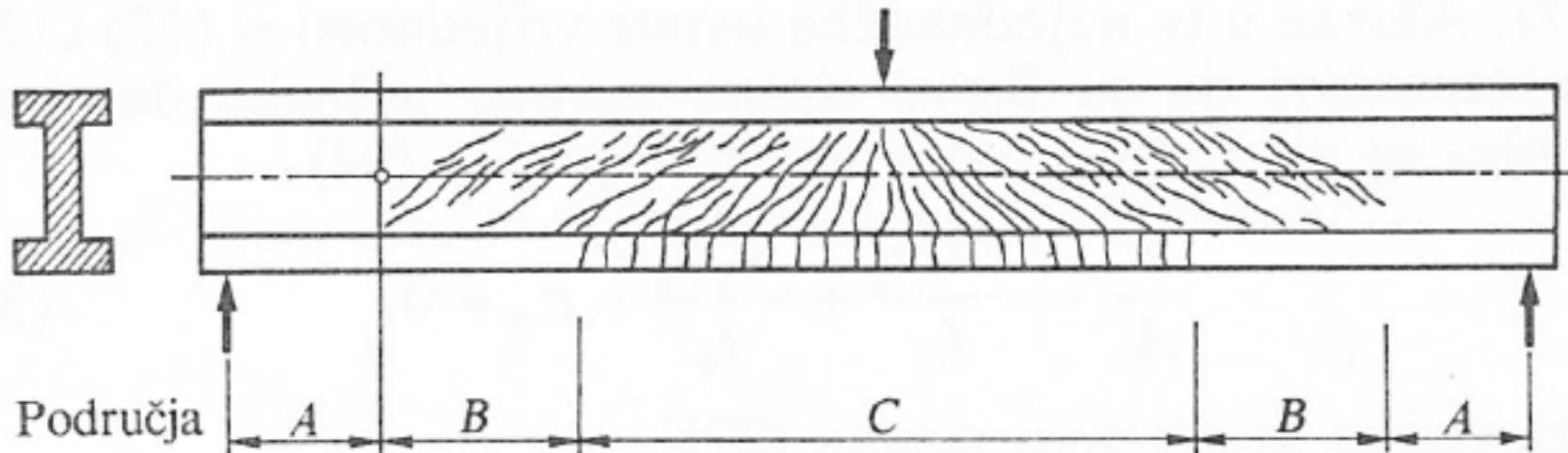
Slika III.7: Tijek poprečnih sila od jednoliko zakrivljene zatege

## III.I Uvod

Dakle PB nosač izvrgnut je djelovanju **poprečnih sila** od **vanjskog opterećenja** i onih od **skretanja osi natege**.

Postupak **proračuna** na djelovanja ovih sila **potpuno je jednak** kao u slučaju **AB nosača**.

Jedina je razlika u tomu što je u PB nosača **dulje područje A**, tj. dio nosača u kojem **nema pukotina ni pri dosegnuću granične nosivosti** (slika III.8).



Slika III.8: Pukotine na PB nosaču neprije dosezanja granične nosivosti

## III.I Uvod

Za djelovanje **poprečne sile** treba promatrati najmanje **tri granična stanja** kroz koja nosač prolazi:

- stanje kada se napinju natege;
- uporabno stanje i
- granično stanje nosivosti.

U prvom slučaju djeluju od opterećenjā samo **vlastita težina nosača i sila prednapinjanja**.

Dakle ovo je **najniža razina vanjskog opterećenja i najviši iznos sile prednapinjanja** (nema vremenskih gubitaka).

U drugom je pak slučaju obrnuto: djeluje **najviša razina vanjskog opterećenja i najniži iznos sile prednapinjanja** (pun iznos vremenskih gubitaka).

**Granično stanje nosivosti** provjerava se na način **analogan onomu za slučaj savijanja**.

## III.I Uvod

U **prvom** i **drugom** stanju mogu nastupiti **dva** različita slučaja:

- nosač biva **raspucao** već pri **nižim** razinama sila kojima je podvrgnut;
- nosač biva **raspucao** tek pri **višim** razinama sila kojima je podvrgnut.

U obama slučajevima vrijede izrazi iz *Otpornosti gradiva*: računamo **glavna vlačna** i **glavna tlačna naprezanja** i uspoređujemo ih s **dopustivima**.

U pravilu **nije potrebna poprečna armatura** – dostatna je ona **najnužnija** (konstrukcijska).

Ako iznimno **glavna vlačna naprezanja premaše dopustiva**, postupa se kao u AB sklopova.

Za **treće** stanje vrijedi isti postupak kao i u **AB sklopova**, s tim što **sila prednapinjanja povećava udio betona u povećanju nosivosti na poprečnu silu**.

## II.2 Stanje neraspucalosti

To je ono stanje pri kojemu **glavna vlačna naprezanja ne premašuju dopustiva**, pa se, suslijedno, **ne mogu ni pojaviti pukotine**.

Sada ćemo razmotriti kako se **oblikom osi natege** može utjecati na to **kolika će ukupna poprečna sila djelovati na nosač**.

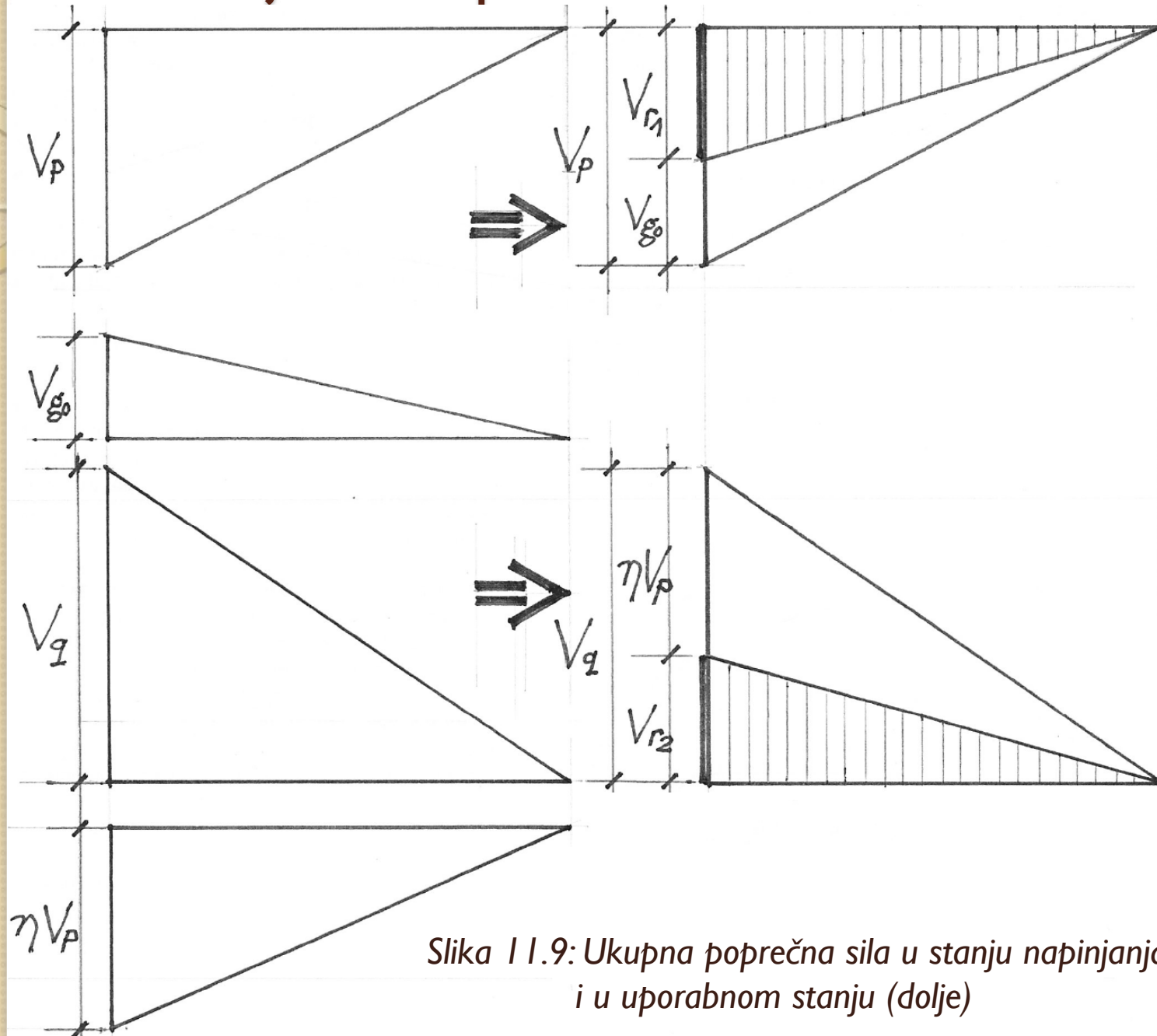
**Ukupna poprečna sila** sastoji se od udjela **djelujućeg opterećenja** i udjela **skrenih sila** izazvanih **silom prednapinjanja**.

Na slici II.9 predviđeni su **tijekovi poprečnih sila** duž polovice nosača od ovih pojedinačnih udjela i pripadne **ukupne poprečne sile** za dva spomenuta **stanja**:

- stanje pri **napinjanju natega** i
- **uporabno** stanje.

Uzet je slučaj **jednoliko zakrivljene natege**.

## II.2 Stanje neraspucalosti



Slika II.9: Ukućna poprečna sila u stanju napinjanja (gore)  
i u uporabnom stanju (dolje)

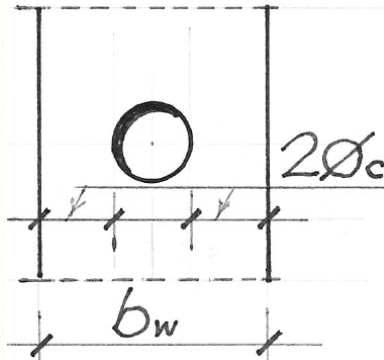
## II.2 Stanje neraspucalosti

Sa slike je očito kako treba nastojati da **ukupna poprečna sila u dvama stanjima bude približno podjednaka:**

$$V_{R1} \approx V_{R2} \quad (II.1)$$

Do prije 20-ak godina uzimalo se je kako i **očvrsli uštrcni mort** sudjeluje u prenošenju **poprečne sile**.

Naime, bjelodano je jasno kako se **u stanju napinjanja natega oslabljuje hrbat** (slika II.10).



Slika II.10: Djelotvorna širina hrpta

Upravo je radi **prenošenja poprečne sile** nastala potreba da **širina hrpta** bude najmanje jednaka **dvostrukomu promjeru zaštitne cijevi** natege.

Dakle u **stanju je napinjanja djelotvorna širina hrpta** neupitno:

$$b'_w = b_w - \varnothing_c \quad (II.2)$$

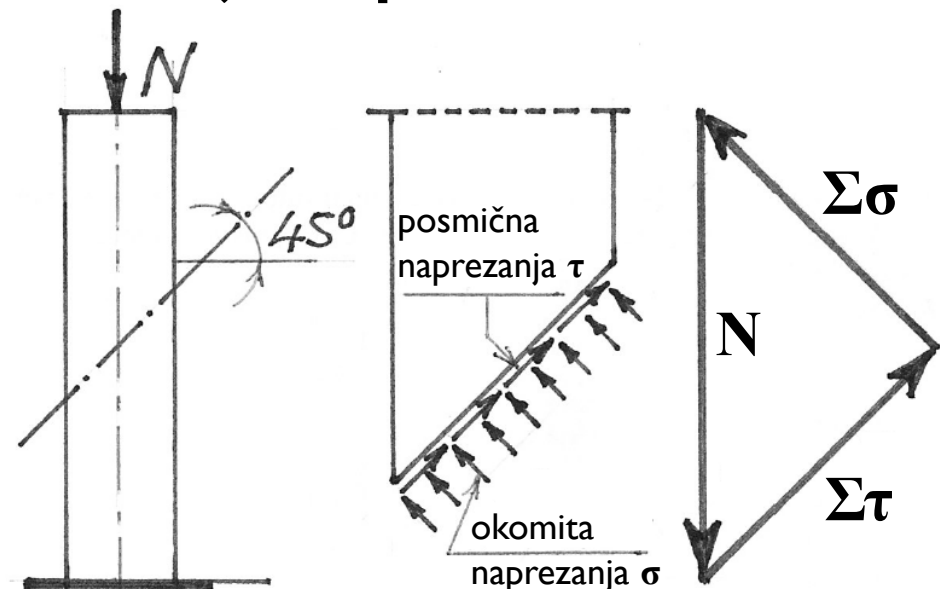
## II.2 Stanje neraspucalosti

Kako je već rečeno, za uporabno je stanje do prije 20-ak godina vrijedilo:

$$b_w' = b_w - 0,5\emptyset_c \quad (II.3)$$

Međutim, i **iskustvo** i **pokusi** nedvosmisleno pokazuju kako se **ne može računati na udio očvrsloga uštrcnog morta**, pa dakle vrijedi izraz (II.2).

A sada ćemo pokazati kako su tzv. **posmična naprezanja**,  $\tau_{xy}$ , samo jedna **pomoćna računska veličina** s pomoću koje se



izračunavaju **glavna naprezanja**, a ne nešto što stvarno djeluje u AB (ili PB) sklopu.

Na slici II.11 predviđena je **betonska prizma** podvrgnuta djelovanju **osne sile**.

Slika II.11: Naprezanja i rezne sile u kosom presjeku prizme

## II.2 Stanje neraspucalosti

Ako zamislimo da smo prizmu **presjekli** ravninom pod kutom  $45^\circ$  prema osi prizme, očito je da i **gornji i donji dio prizme moraju biti u ravnoteži**.

Promatrat ćemo **gornji** dio (srednji dio slike II.II).

Duž presječnice djeluju **okomita** (normalna) i **posmična** (tangencijalna) naprezanja.

Na desnom su dijelu slike predviđene **rezultante** tih naprezanja.

Iz uvjeta **ravnoteže** slijedi da su one **jednake** po veličini, iz čega proizlazi kako i pripadna **naprezanja** moraju biti **jednaka**.

**Okomita** naprezanja od, primjerice,  **$10 \text{ N/mm}^2$**  nisu **ništa neobično** u betonskim sklopovima.

Međutim, **posmično** naprezanje te **veličine** nijedan **beton** ne **bi mogao podnijeti**.

## II.2 Stanje neraspucalosti

Iz ovoga je razmatranja **očito**, kako je već rečeno, da su **posmična naprezanja** samo **pomoćna veličina** što služi za izračunavanje **glavnih naprezanja**, te da je **nužno** izračunati **glavna naprezanja**.

Za **neraspucale nosače** ona se računaju po pravilima znanosti o **otpornosti gradiva**:

$$\sigma_{1,2} = \frac{\sigma_x}{2} \pm \sqrt{\left(\frac{\sigma_x}{2}\right)^2 + \tau_{x,y}^2} \quad (11.4)$$

U daljim ćemo izrazima **izostaviti indekse** uz oznaku **posmičnog** naprezanja, pa ćemo pisati samo  $\tau$ .

**Osnovno** (normalno) naprezanje računa se iz izraza:

$$\sigma_x = -\frac{P}{A} - \frac{P \cdot e \cdot y}{I} - \frac{M_q \cdot y}{I} \quad (11.5)$$

Ako drugi član u ovom izrazu pomnožimo i podijelimo s ploštinom presjeka, dobit ćemo:

## II.2 Stanje neraspucalosti

$$\sigma_x = -\frac{P}{A} \left( 1 + \frac{e \cdot y}{i^2} \right) - \frac{M_q \cdot y}{I} \quad (11.6)$$

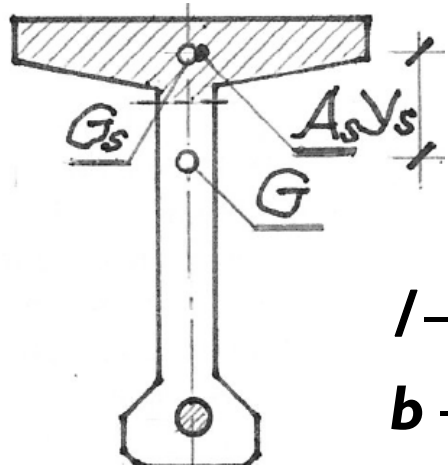
S druge strane, **posmično se naprezanje** računa iz poznatog izraza iz Otpornosti gradiva (slika II.12):

$$\tau = \frac{V \cdot S}{I \cdot b} \quad (11.7)$$

U ovom su izrazu:

**V** – poprečna sila u promatranomu presjeku;

**S** – **statički moment** dijela ploštine presjeka **iznad razine za koju računamo posmično naprezanje**:



$$S = A_s \cdot y_s \quad (II.8)$$

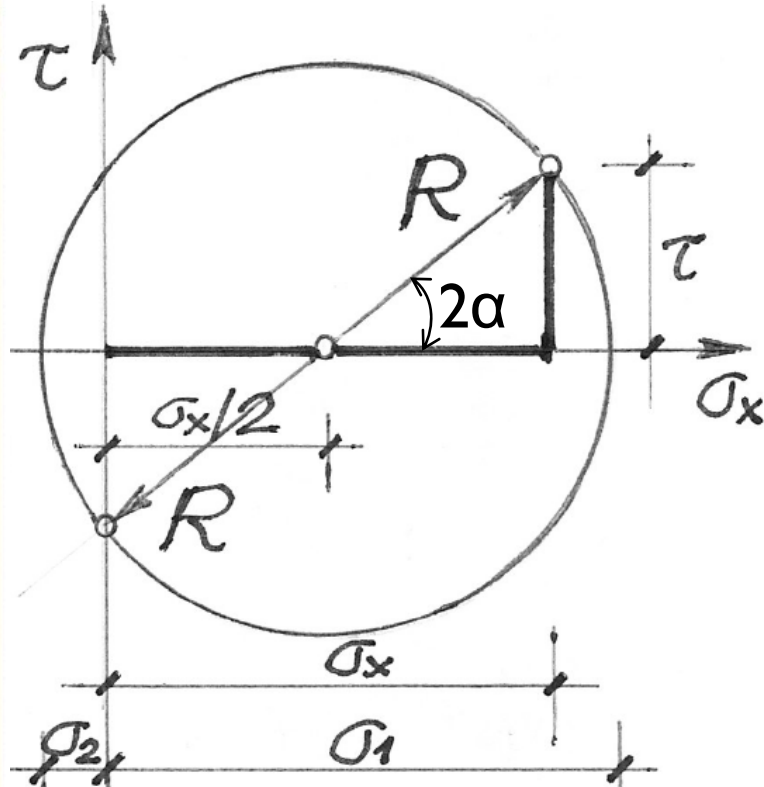
**I** – moment tromosti presjeka;

**b** – djelotvorna debljina hrpta.

Slika II.12: Računanje posmičnoga naprezanja u presjeku razvedena oblika

## II.2 Stanje neraspucalosti

Iz Otpornosti je gradiva također poznato kako se **ravninsko stanje naprezanja** može predočiti u obliku **Mohrove kružnice** (slika II.13).



Slika II.13: Mohrova kružnica za ravninsko stanje naprezanja

Ako u koordinatnom sustavu  $\sigma_x$ ,  $\tau$  nanesemo izračunana naprezanja,  $\sigma_x$  i  $\tau$ , mogu se na osnovi geometrijskih odnosa predočenih na slici izračunati **glavna naprezanja**,  $\sigma_1$  i  $\sigma_2$ , te kut  $\alpha$  pod kojim tlačno naprezanje,  $\sigma_1$ , djeluje u odnosu na uzdužnu os.

Naime, iz slike se vidi kako je **polumjer kružnice**:

$$R = \sqrt{\left(\frac{\sigma_x}{2}\right)^2 + \tau^2} \quad (11.9)$$

## II.2 Stanje neraspucalosti

S druge strane vidimo kako je **središte kružnice** na apscisi  $\sigma_x/2$ .

Iz ovih se odnosa lako dobiju veličine glavnih naprezanja:

$$\sigma_1 = \frac{\sigma_x}{2} + \sqrt{\left(\frac{\sigma_x}{2}\right)^2 + \tau^2} \quad (11.10)$$

$$\sigma_2 = \frac{\sigma_x}{2} - \sqrt{\left(\frac{\sigma_x}{2}\right)^2 + \tau^2} \quad (11.11)$$

Iz **Mohrove** se kružnice jasno vidi kako se **ne mogu izbjegći glavna vlačna naprezanja,  $\sigma_2$** .

Naime, kako god **neznatno bilo posmično naprezanje**, vrijednost **korijena** uvijek je **veća** od vrijednosti **pred njim** ( $\sigma_x/2$ ) u jedn. (II.11), pa su dakle **vlačna naprezanja neizbjegiva**.

Zbog toga je uvijek nužno predvidjeti stanovitu **najmanju količinu poprečne armature** (tzv. **minimalnu armaturu**).

## II.2 Stanje neraspucalosti

Za **glavno vlačno naprezanje**,  $\sigma_2$ , postoje **dvije granične vrijednosti**:

- **donja** i
- **gornja**.

Ako **donja nije premašena**, nije potrebno proračunavati **poprečnu armaturu**.

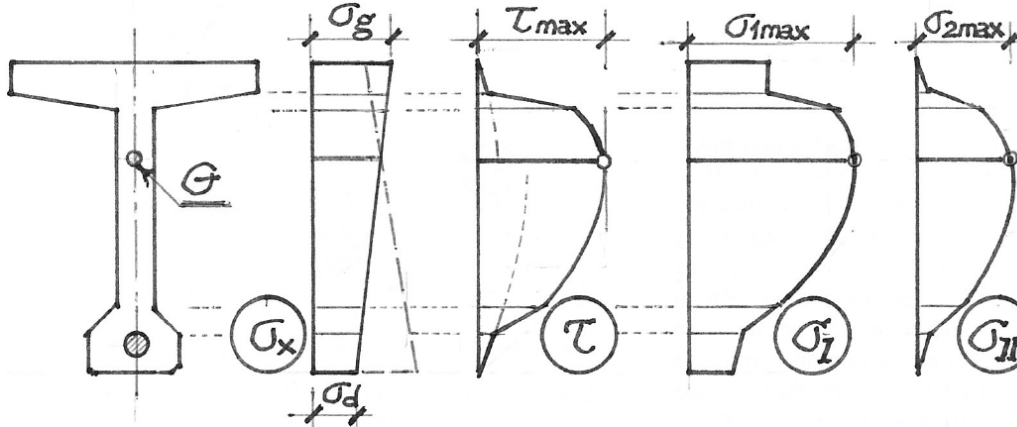
Ako je pak **gornja premašena**, nužna je i **kosa poprečna armatura**.

Međutim, iz **praktičnih se razloga** gotovo nikada **ne poseže** za ovim **drugim rješenjem**, nego se radije **podebljava hrbat**.

Iznimkom su **visoki sandučasti nosači mostova** u kojih ima mesta i za **dva sloja poprečne armature**, koja nerijetko zna biti i **većega promjera ( $\varnothing 20$ , pa i  $\varnothing 25$  mm)**.

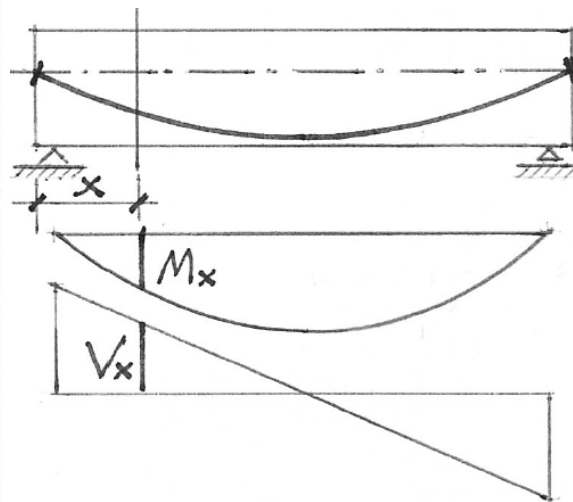
## III.2 Stanje neraspucalosti

Pogledajmo sada kako izgledaju tijekovi **računskih i glavnih naprezanja** po presjeku PB nosača (slika III.14).



Slika III.14: Glavna naprezanja u presjeku PB nosača

Predočeni tijekovi naprezanja odnose se na presjek prikazan pojednostavljeno na slici III.15.



Poprečni se presjek sastoji od triju dijelova **nepromjenjive** širine i dvaju poteza s postupno **promjenjivom** širinom. To se odražava na tijek **posmičnih naprezanja**.

Slika III.15: Presjek za koji su izračunana glavna naprezanja

## II.2 Stanje neraspucalosti

Naime, pogledamo li izraz za **posmično naprezanje** (II.7), vidimo da je u njemu samo **statički moment promjenjiv**, te da se mijenja po **zakonu parabole**.

Stoga je i **tijek posmičnih naprezanja takva oblika**.

Na potezima **postupne promjene širine presjeka** taj tijek slijedi **parabolu trećega reda**, ali je ona toliko **ispružena** da se može pojednostavljeno uzeti **pravčasta** raspodjelba.

S druge strane, **uzdužna naprezanja pravčaste** (linearne) su raspodjelbe po presjeku i razmjerno **malo odstupaju od težišnog** naprezanja.

Na **rubovima** presjeka (gornjem i donjem) **posmično naprezanje** uvijek **iščezava**, pa iz izrazā (II.10) i (II.11) slijedi da je na tim rubovima:

$$\sigma_1 = \sigma_x \quad (II.12) \text{ i}$$

$$\sigma_2 = 0 \quad (II.13)$$

## II.2 Stanje neraspucalosti

Između rubova glavna su naprezanja raspodijeljena po krivuljama što u dobroj mjeri slijede krivulju raspodjelbe posmičnih naprezanja (slika II.14).

U slučaju poprečnoga prednapinjanja izrazi se posložnjavaju utoliko što ulazi u igru i  $\sigma_y$ :

$$\sigma_{1,2} = \frac{\sigma_x + \sigma_y}{2} \pm \sqrt{\left(\frac{\sigma_x - \sigma_y}{2}\right)^2 + \tau_{xy}^2} \quad (11.14)$$

To ima odraza i na raspodjelu glavnih naprezanja, pa tako na rubu  $\sigma_2$  biva jednako  $\sigma_y$ .

## II.3 Stanje raspucalosti

Ako se premaši **donja** dopustiva granica **glavnoga vlačnog naprezanja**, treba predvidjeti **poprečnu armaturu**.

U tu svrhu valja prvo odrediti kut glavnih naprezanja,  $\alpha$ .

$$\tan 2\alpha = \frac{2\tau}{\sigma_x} \quad (11.15)$$

Prisjetimo se kako je u **savijanih AB nosača** najveće posmično naprezanje **u razini težišta presjeka**, a kako je u toj razini  $\sigma_x = 0$ , ono je ujedno i **glavno naprezanje**.

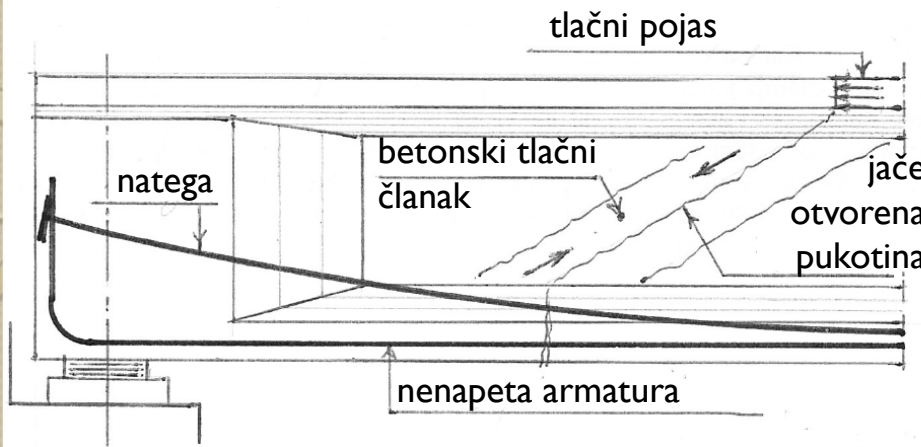
Naime, za  $\sigma_x = 0$   $\tan 2\alpha = \infty$ , pa je  $2\alpha = 90^\circ$  ili  $\alpha = 45^\circ$ .

Međutim, u **PB** je **nosača uvijek**  $\sigma_x \neq 0$ , pa je uvijek  $\alpha < 45^\circ$ .

**Dobro** je što su tlačni članci, a onda i **pukotine, položitiji** iz dvaju razloga (slika II.16):

- pri položitiju pukotini veći broj stremenova preuzima istu poprečnu silu i
- mjerodavna je manja poprečna sila.

# II.3 Stanje raspucalosti



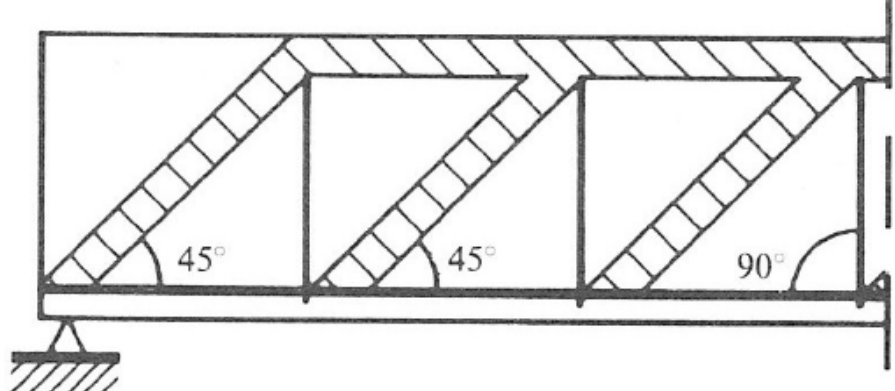
Slika II.16: Prednosti položitih pukotina

ovoj analogiji rešetke (slika II.17) nego AB nosači.

To je zato što su u PB nosača u pravilu **hrptovi tanji**, a upravo se je **omjer širina** hrpta i gornje pojasnice pokazao **mjerodavnim** u ocjeni valjanosti Mörschove analogije (slika II.18).

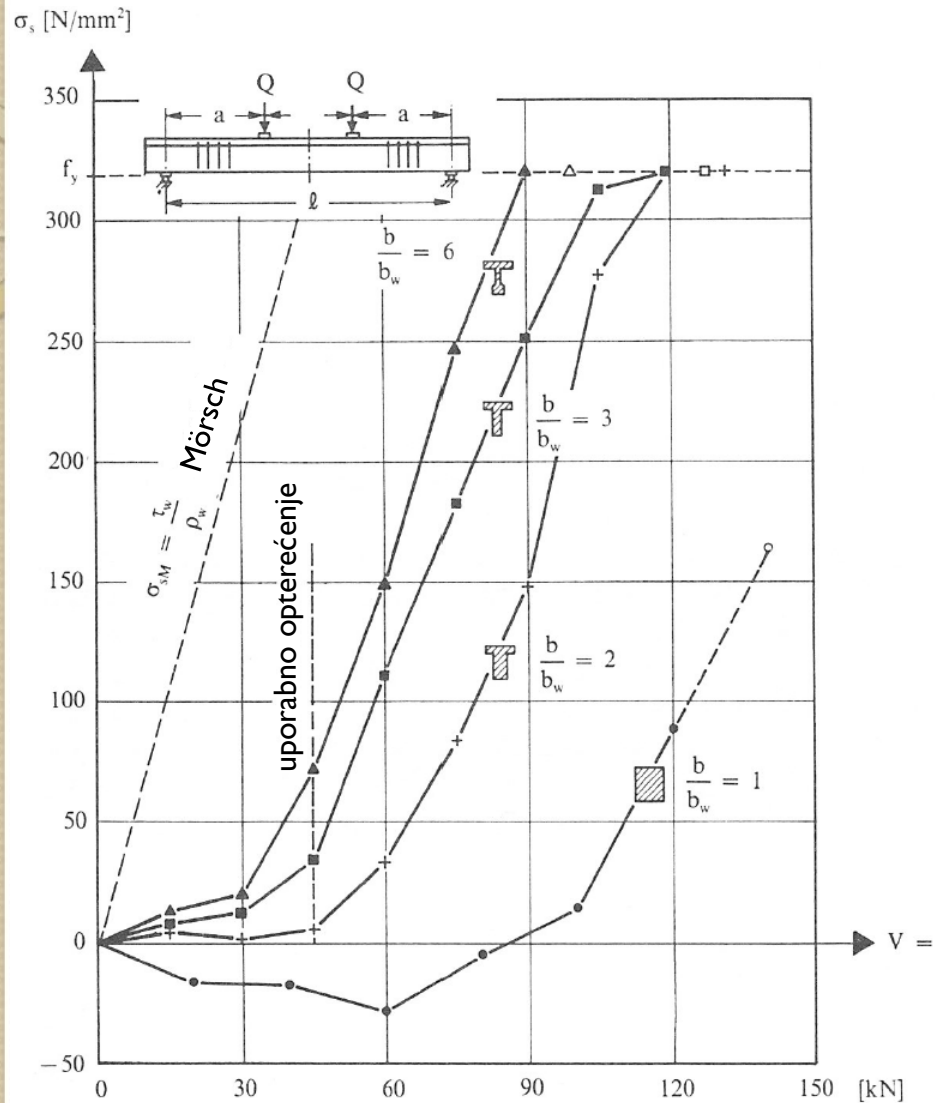
Naime, **vrh je pukotine jače odmaknut od ležaja**, pa se na nj odnosi **manja poprečna sila**.

Valja još naglasiti kako se općenito **PB nosači** ponašaju pod djelovanjem **poprečne sile bliže Mörsch-**



Slika II.17: Povećanje pojasne sile u nosača s okomitim stremenovima

# II.3 Stanje raspucalosti



Slika II.18: Naprezanja u stremenovima u zavisnosti od debljine hrpta

Slika II.18 predaje glavne rezultate slavnih **Stuttgartskih pokusa** do kojih je došlo zbog jedne **omaške**.

Naime, u jednu je AB gredu **omaškom** ugrađeno svega **40 % potrebne poprečne armature**, a ipak **nije uočeno ništa neželjeno** u njezinu kasnijem **ponašanju**.

Slika jasno pokazuje kako je **ponašanje to bliže Mörschovu pravcu** što je **hrbat tanji**.

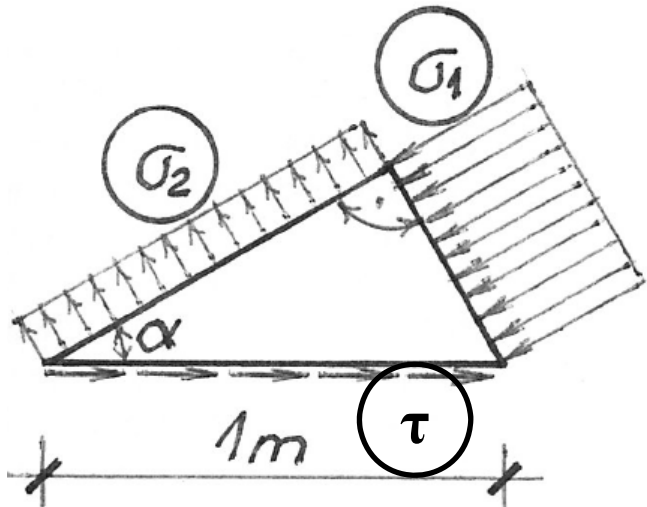
## II.3 Stanje raspucalosti

Kako je već rečeno, **PB nosači** mogu se s više opravdanja računati na djelovanje **poprečne sile** po **Mörschovoju analogiji rešetke**.

Prijedimo na **proračun potrebne armature**.

Ako je  $\sigma_2 > \sigma_{2dop}$ , to znači da u smjeru glavnih **tlačnih naprezanja** treba očekivati **pukotine**.

Kao i inače u **AB sklopova**, **ne računa se s vlačnom čvrstoćom betona**, nego **ukupnu vlačnu silu** treba prenijeti **armatura**.



Izdvojimo **trostranu prizmu** s najduljom pobočkom jedinične duljine iz **hrpta nosača** (slika II.19).

Na **polozitiju** pobočku djeluju glavna **vlačna naprezanja**.

Slika II.19: Trostrana prizma isječena iz hrpta nosača

## II.3 Stanje raspucalosti

**Rezultante glavnih naprezanja u ravnoteži** su s **rezultantom posmičnih naprezanja** po oplošju najdulje pobočke.

Rezultanta je glavnih **vlačnih** naprezanja:

$$T = \sigma_2 \cdot \cos\alpha \cdot b_w' \quad (II.16)$$

Ovdje se pojavljuje  $b_w'$  zato što je i  $\sigma_2$  izračunan uz pretpostavku te širine hrpta.

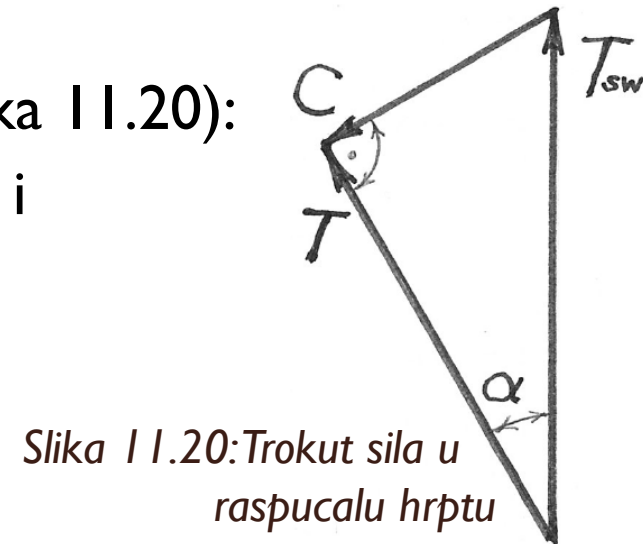
Ova se sila razlaže u **trokut sila** (slika II.20):

- u **vlačnu** silu u smjeru **armature** i
- u **tlačnu** silu u smjeru **betonskih tlačnih članaka**.

Vlačna je sila u smjeru armature:

$$T_{sw} = \frac{T}{\cos\alpha} = \sigma_2 \cdot b_w' \quad (II.17)$$

Ovo je sila po **1 m duljine nosača**; ona **nije jednoliko raspodijeljena** nego sukladno tijeku **poprečne sile**.

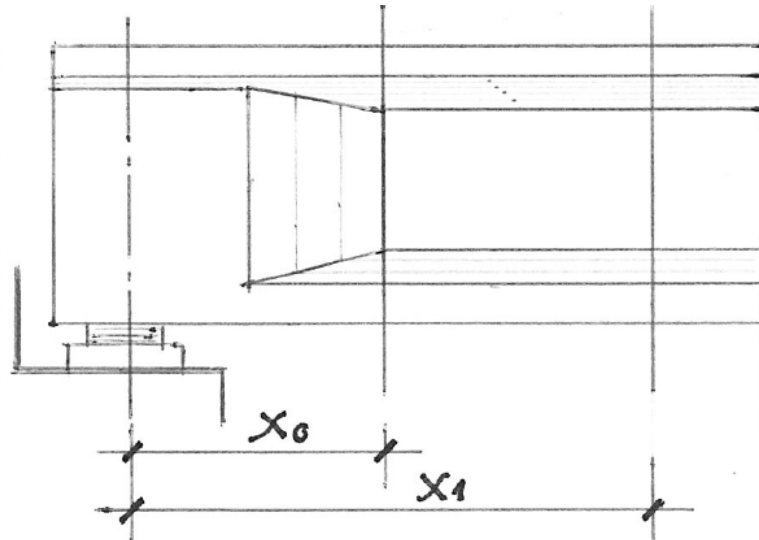


Slika II.20: Trokut sila u raspucalu hrptu

## II.3 Stanje raspucalosti

Ovu silu treba izračunati u najmanje dvama presjecima.

Prvi je presjek na početku proširenja hrpta nosača (slika II.21).



Slika II.21: Presjeci što se provjeravaju

Naime, **lijevo** od ovoga presjeka **hrbat** se razmjerno naglo širi, pa nema bojazni od premašenja dopustivog naprezanja

$$\sigma_{2dop}.$$

**Drugi** se **presjek** odabire **nasumce**.

**Ploština je presjeka potrebne poprečne armature:**

$$A_{sw} = \frac{T_{sw}}{f_{swy}} \quad (11.18)$$

Obično se odabire razmak šipaka, pa se odredi njihov promjer<sub>28</sub>

## II.3 Stanje raspucalosti

Naravno, može se postupiti i **obrnuto**.

Zgodno je **vlačnu silu** u poprečnoj **armaturi** izraziti u **[kN]**,  
a **dopustivo naprezanje u armaturi** podijeliti sa **10**.

Tako se **ploština armature** dobije u **[cm<sup>2</sup>]**:

$$A_{sw} = \frac{T_{sw}}{f_{swy}} = \frac{[kN]}{[N / mm^2 \cdot 10^{-1}]} \Rightarrow [cm^2]$$

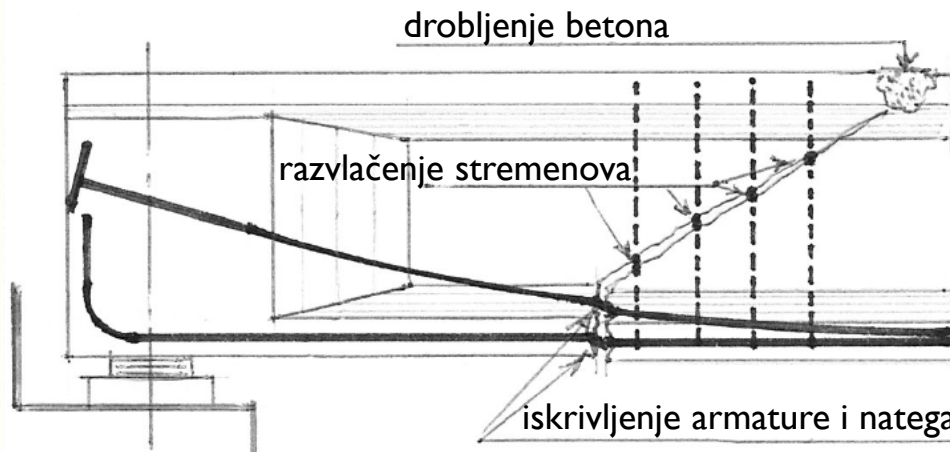
## II.4 Granično stanje nosivosti

Prije nego što prijeđemo na određivanje potrebne ploštine poprečne **armature** pogledajmo moguće **tipove sloma** PB nosača pod djelovanjem **poprečne sile**.

Općenito razlikujemo **dva glavna tipa sloma**:

- **vlačni** slom hrpta;
- **tlačni** slom hrpta.

Prvi nastaje kada je **poprečna armatura** hrpta **preslab** (poddimenzionirana), pa **kose pukotine** zadiru duboko u tlačni pojas nosača, zbog čega on trpi slom (slika II.22)



Slika II.22: Posmično-savojni slom nosača

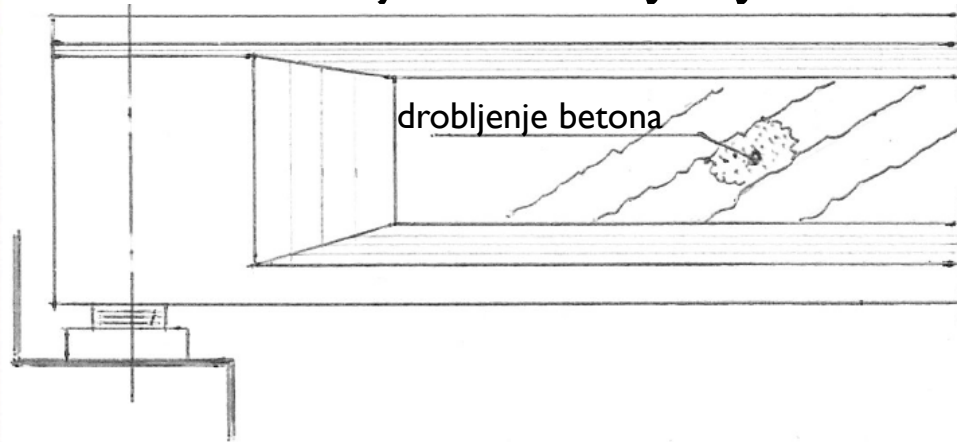
Kadšto se ovaj tip sloma naziva i **posmično-savojnim** slomom (njem. *Schubbiegebruch*).

U svakom slučaju, radi se o vrlo **opasnu** tipu sloma i treba ga svakako izbjegći.

## II.4 Granično stanje nosivosti

Ako je pak hrbat tanak i jako armiran, može se dogoditi da betonski tlačni članci pretrpe slom pri višim razinama opterećenja.

Slom se očituje u **drobljenju betona hrpta** (slika II.23).



Slika II.23: Slom nosača zbog drobljenja betona u hrptu

Ovaj se slom naziva i **slo-mom tlačnih članaka** (*Druckstrebenbruch*).

I on je **opasan** tip sloma, a može se izbjegći **ograničavanjem glavnoga tlačnog naprezanja**, što se

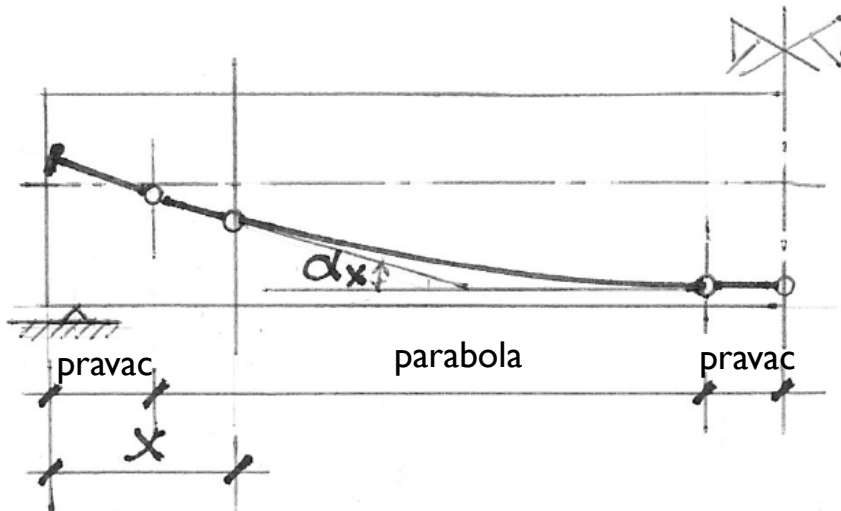
najjednostavnije postiže **podebljavanjem hrpta**.

Uz ove tipove kadšto se javljaju i tipovi sloma uzrokovani nepomnjivom obradbom pojedinosti (detalja):

- zbog proklizavanja vlačne armature (premala dulj. sidrenja) i
- zbog popuštanja zazubljenja zrna puniva (preširoke pukotine).

## II.4 Granično stanje nosivosti

Sada definirajmo pojam **mjerodavne poprečne sile u trima stanjima** (slika II.24):



Slika II.24: Presjek u kojem se računa mjerodavna poprečna sila

- u graničnomu stanju nosivosti:

$$V_{mu} = \gamma_g \cdot V_g + \gamma_q \cdot V_q - \gamma_p \cdot P_u \cdot \sin \alpha_p \quad (II.22)$$

Ovdje se susrećemo s istim onim **faktorima sigurnosti** koje smo susreli pri razmatranju **graničnoga stanja nosivosti pri savijanju**.

Novost je jedino faktor  $\gamma_p$ , koji se uzima u obzir zavisno od toga djeluje li sila prednapinjanja **povoljno ili nepovoljno**.

- pri napinjanju:

$$V_{mp} = V_{g0x} - P_{0x} \cdot \sin \alpha_{px} \quad (II.20)$$

- u uporabi:

$$V_{ms} = V_q - \eta P_{\infty x} \cdot \sin \alpha_{px} \quad (II.21)$$

## II.4 Granično stanje nosivosti

Ako dakle sila prednapinjanja djeluje **povoljno**, uzima se da je  $\gamma_p < I$  (obično = 0,9), a ako djeluje **nepovoljno**, uzima se da je  $\gamma_p > I$  (obično = 1,1).

Međutim, ovdje je mnogo važnije utvrditi ili, točnije, **procijeniti kolika može biti sila prednapinjanja** pri dosegnuću **granične nosivosti** pod djelovanjem **poprečne sile**.

Naime, vidjeli smo kako pri dosegnuću **granične nosivosti pri savijanju** ona **potpuno iščezava**.

Ovdje pak tomu **ne mora biti tako**; dapače, gotovo nikada i **nije tako**.

Zato se općenito uzima da je:

$$P_u = A_p \cdot f_{py} \quad (II.23)$$

Ovo je računski **najveća sila** što se može pojaviti u **natezi**.

Sada pošto smo odredili  $V_{mu}$  postupamo na **potpuno jednak način** kao u slučaju **AB sklopova**.

## II.4 Granično stanje nosivosti

Prvo računamo tzv. **nazivno posmično naprezanje**:

$$\tau_n = \frac{V_{mu}}{b_w \cdot z} \quad (II.24)$$

Ono se zatim uspoređuje s trima dopustivim vrijednostima:

$$\tau_r, \quad 3\tau_r \text{ i } 5\tau_r$$

Ako je  $\tau_n < \tau_r$ , **nije potrebna dodatna** (proračunska) **armatura** – dostatna je najnužnija (konstrukcijska).

S druge strane, **mora biti ispunjen uvjet**:

$$\tau_n \leq 5\tau_r \quad (II.25)$$

**Gornja se granica,  $5\tau_r$ , nipošto ne smije premašiti** – pokaže li račun da je premašena, **mora se podebljavati hrbat**.

Imamo dakle **dva različita područja** vrijednosti nazivnoga posmičnog naprezanja:

$$3\tau_r \geq \tau_n \geq \tau_r \quad (II.26)$$

## II.4 Granično stanje nosivosti

$$3\tau_r \leq \tau_n \leq 5\tau_r \quad (II.27)$$

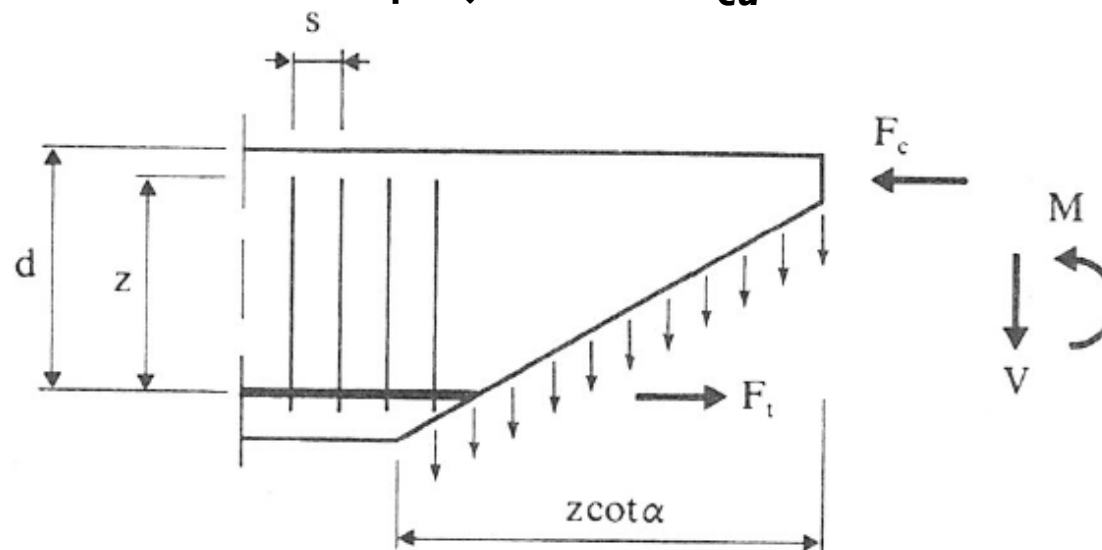
Vrijednosti  $\tau_r$  propisane su **normama**.

U prvom slučaju **dio poprečne sile prenosi beton**, a na **armaturu** otpada:

$$V_{su} = V_{mu} - V_{cu} \quad (II.28)$$

pri čemu je  $V_{cu}$  dio poprečne sile što ju prenosi beton.

U drugom pak slučaju **cjelokupnu poprečnu silu** preuzima **armatura**, pa je dakle  $V_{cu} = 0$ .



**Mehanizam prenošenja poprečne sile armaturom** predviđen je na slici II.25.

Radni je presjek nagnut za kut  $\alpha < 45^\circ$ .

Slika II.25: Proračunska shema za sile u stremenovima

## II.4 Granično stanje nosivosti

Dio poprečne sile što ju prenosi beton dobije se iz izraza:

$$V_{cu} = 2,5 \cdot \tau_r \cdot b_w \cdot z \cdot \left( 1 + \frac{M_{Dx}}{M_{sux}} \right) \quad (3.29)$$

Vidimo kako se on **razlikuje** od odgovarajućeg izraza što vrijedi za **AB sklopove** samo za **množitelj u zagradi**.

S pomoću njega uzima se u obzir da u PB sklopova postoji **veći dio nosača što nije raspucao**, pa dakle **nije isključen iz nosivosti**.

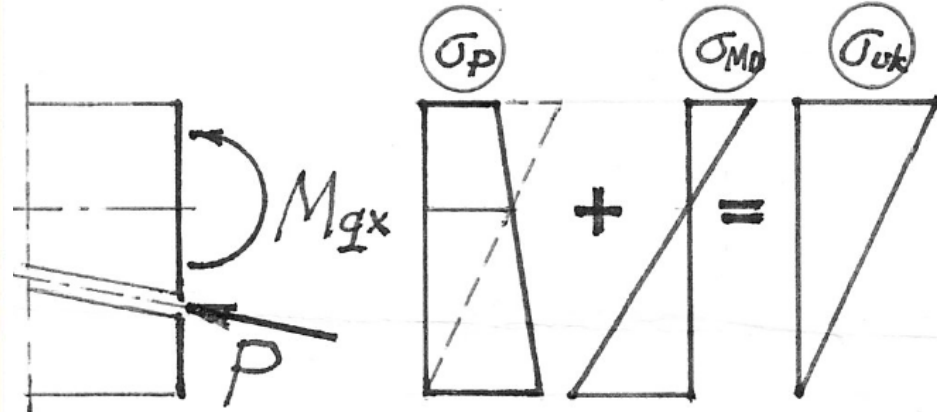
U brojniku je izraza u zagradi:

**$M_{Dx}$  – moment rubnoga rastlačenja** u promatranom presjeku – pojam s kojim smo se susreli u poglavljiju o **stupnjevima prednapinjanja**.

U nazivniku je pak:

**$M_{sux}$  – granični moment savijanja od vanjskih opterećenja** u istomu presjeku.

## II.4 Granično stanje nosivosti



Slika II.26: Moment rubnoga rastlačenja nati izjednačivanjem rubnog naprezanja od sile prednapinjanja i od momenta savijanja:

$$\sigma_d = \frac{M_d}{W_d} = -\frac{P}{A} \left( 1 + \frac{e}{j_g} \right) \quad (11.30)$$

Odavde je izravno:

$$M_d = \frac{P \cdot W_d}{A} \left( 1 + \frac{e}{j_g} \right) \quad (11.31)$$

U množitelju pred zagradom prepoznajemo izraz za gornji odsječak obične jezgre presjeka:

$$W_d/A = j_g \quad (II.32)$$

Na slici II.26 lijevo predloženo je stanje naprezanja u promatranom presjeku pod djelovanjem sile prednapinjanja.

**Moment rubnoga rastlačenja** možemo izraču-

## II.4 Granično stanje nosivosti

Uzmemo li to u obzir, dobit ćemo vrlo jednostavan izraz za  $M_D$ :

$$M_D = P(e + j_g) \quad (II.32)$$

**Granični pak moment savijanja** od vanjskih opterećenja u ovomu presjeku dobije se na način prikazan u poglavlju o **graničnoj nosivosti pri savijanju**:

$$M_{sux} = \gamma_g \cdot M_g + \gamma_q \cdot M_q \quad (II.33)$$

Ipak, valja imati na umu kako se radi o **momentu u promatranomu, a ne u najjače napregnutomu presjeku**.

Sada znamo koji dio poprečne sile prenosi armatura, pa lako izračunamo njezinu **potrebnu ploštinu**:

$$A_{sw} = \frac{V_{ru}}{f_{swy}} \quad (II.34)$$

pri čemu je  $f_{wsy}$  – **granica popuštanja čelika stremenova**.

## II.4 Granično stanje nosivosti

Opet postupamo kao i u slučaju **odabira armature za granično stanje uporabe**:

- za **odabrani promjer** računamo **razmak stremenova** ili
- **obrnuto**.

Preporučljivo je da **promjer šipaka stremenova** bude **što tanji, ali ne smije biti tanji od 8 mm.**

Najčešće se rabi:

- $\varnothing 8 \div 12$  mm (u visokogradnji) i
- $\varnothing 12 \div 20$  mm (u mostogradnji).